

1/18

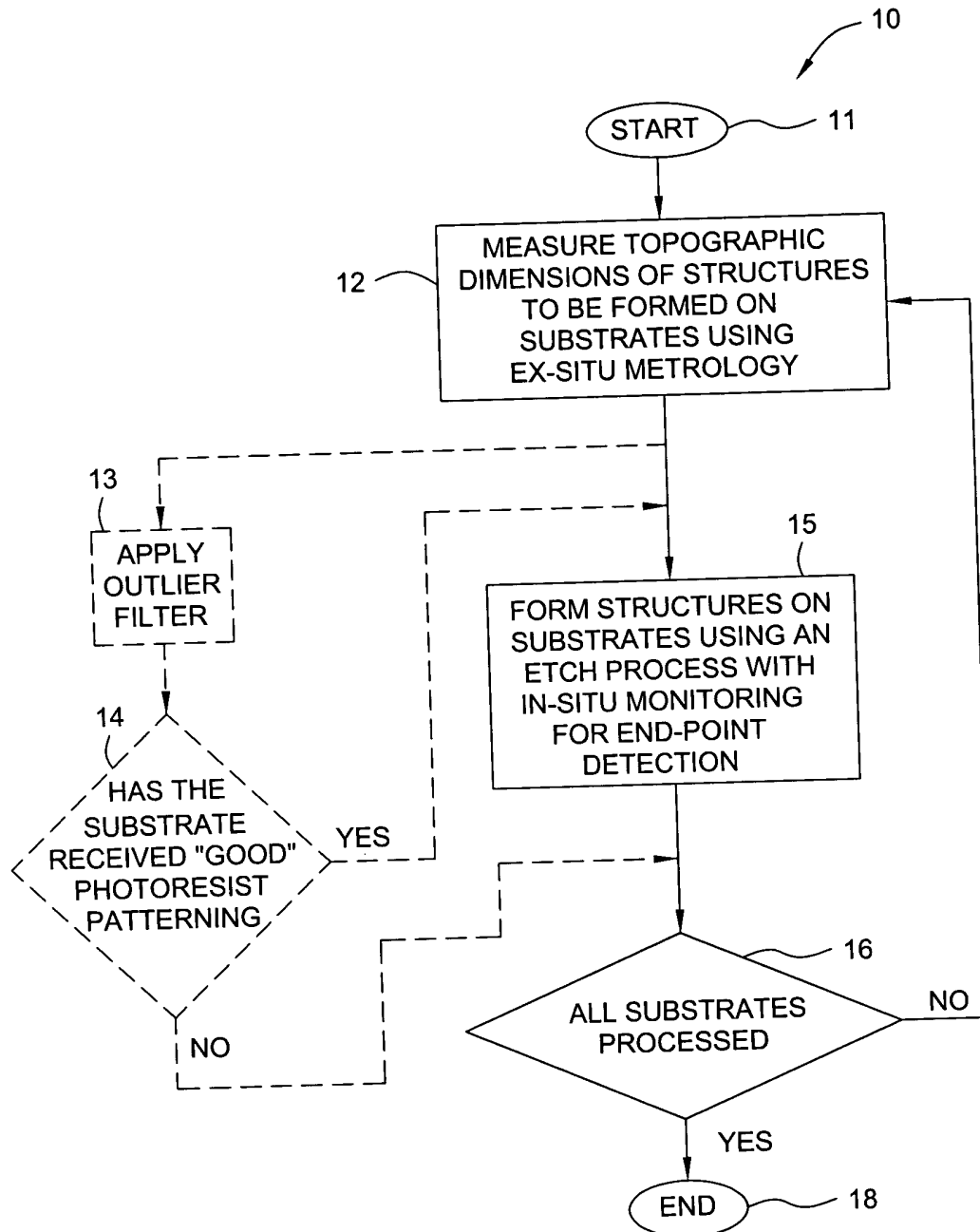


FIG. 1

2/18

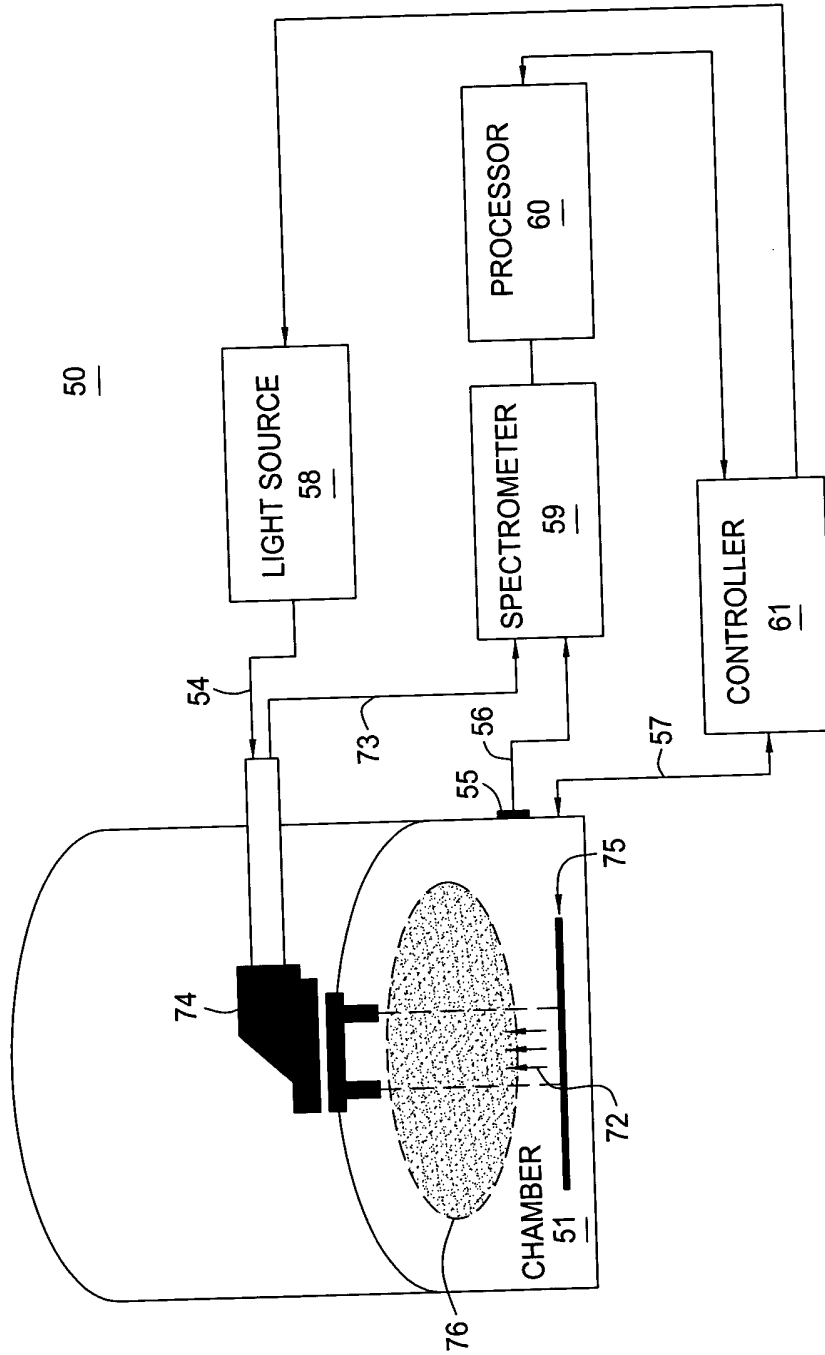


FIG. 1A

3/18

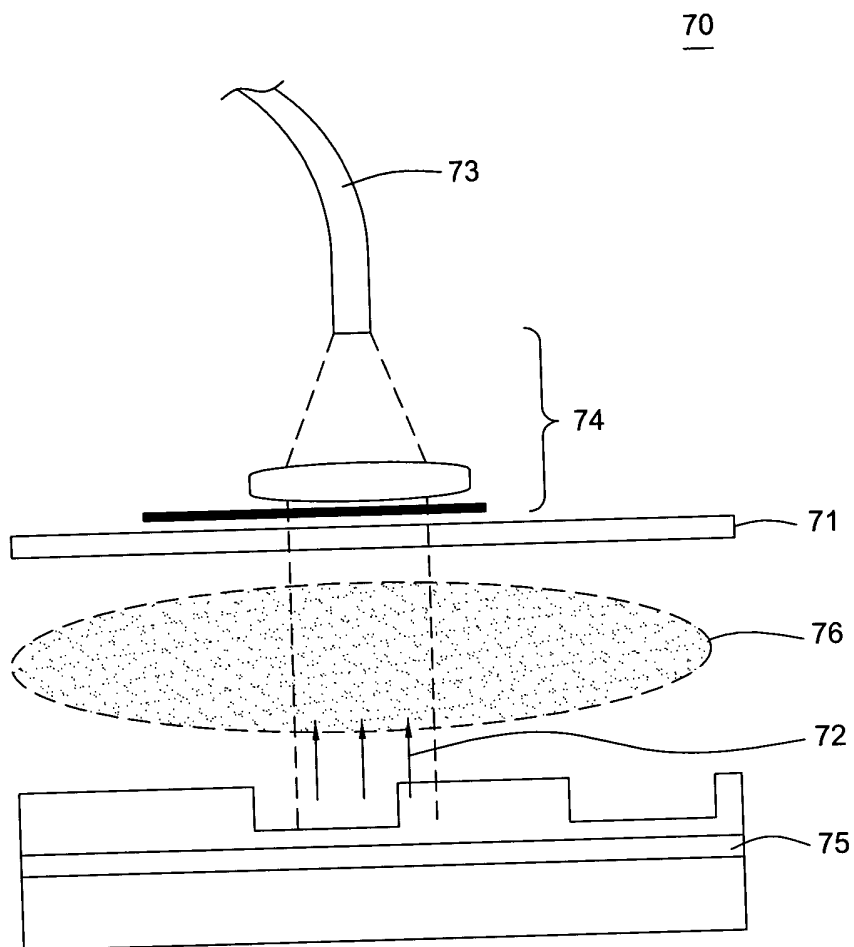


FIG. 1B

4/18

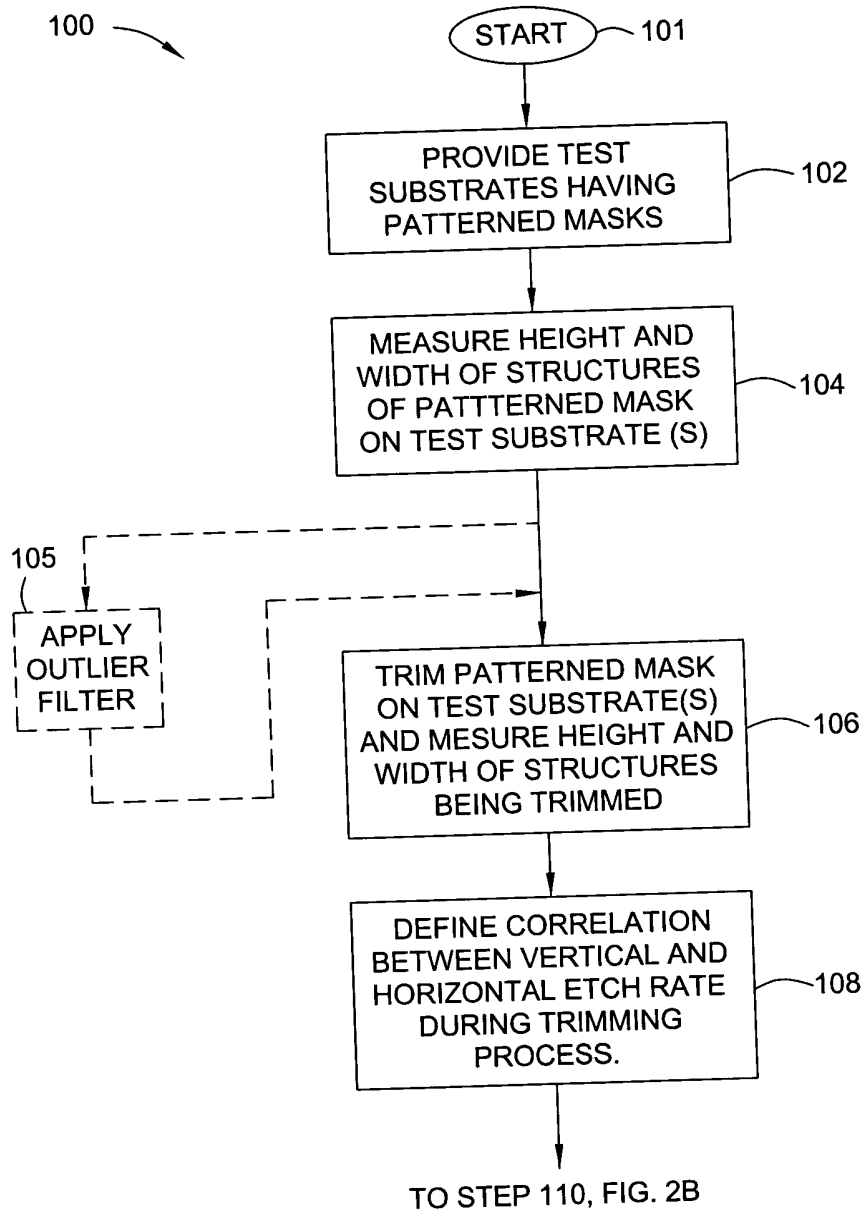


FIG. 2A

5/18

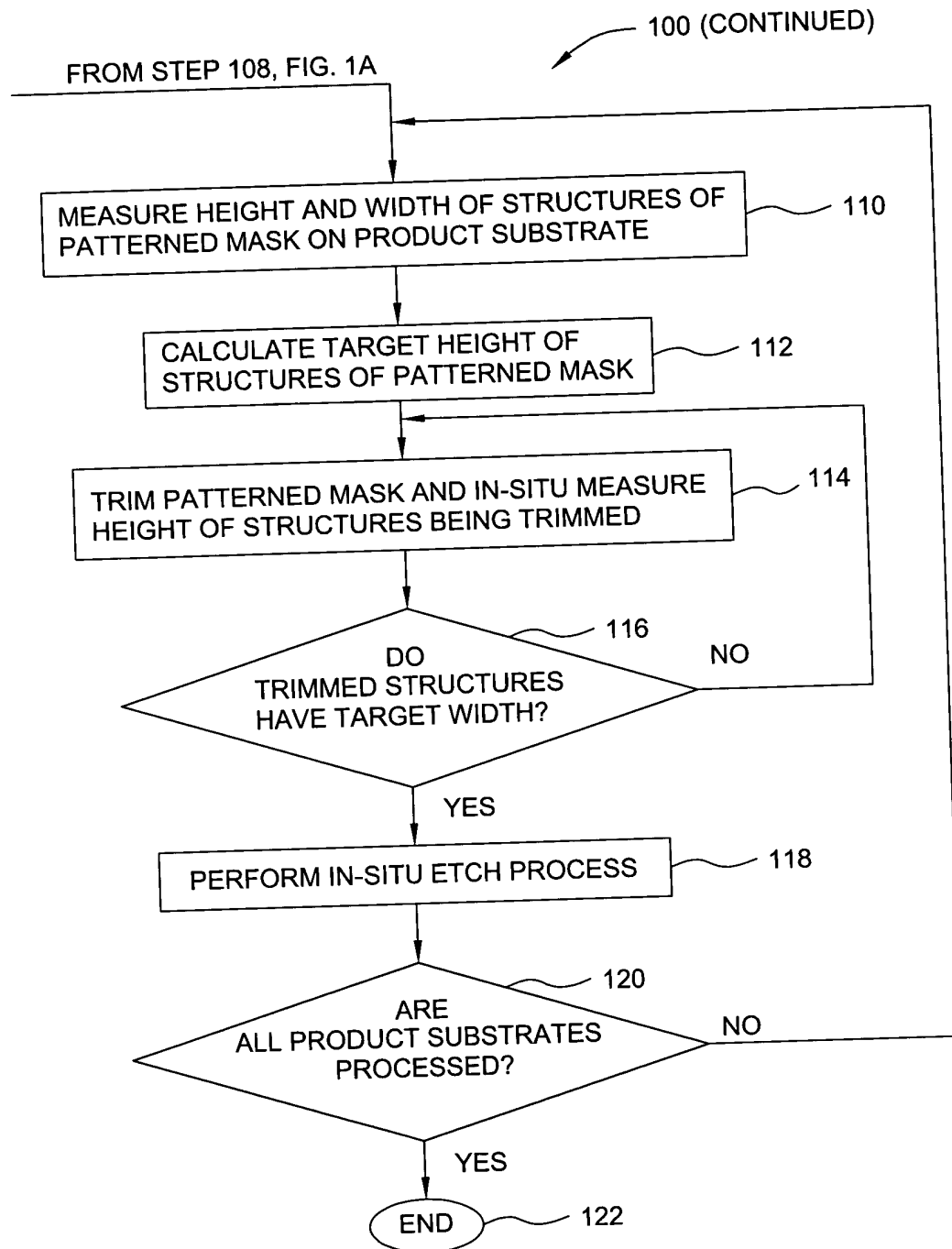


FIG. 2B

6/18

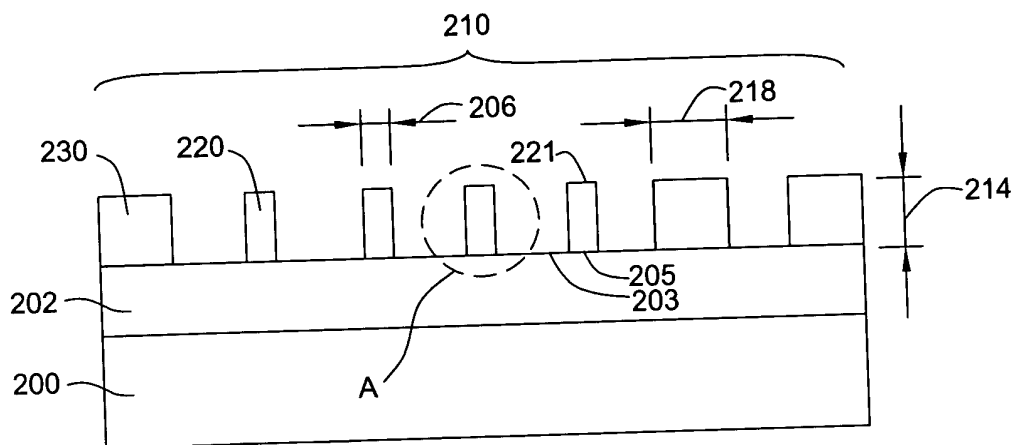


FIG. 3A

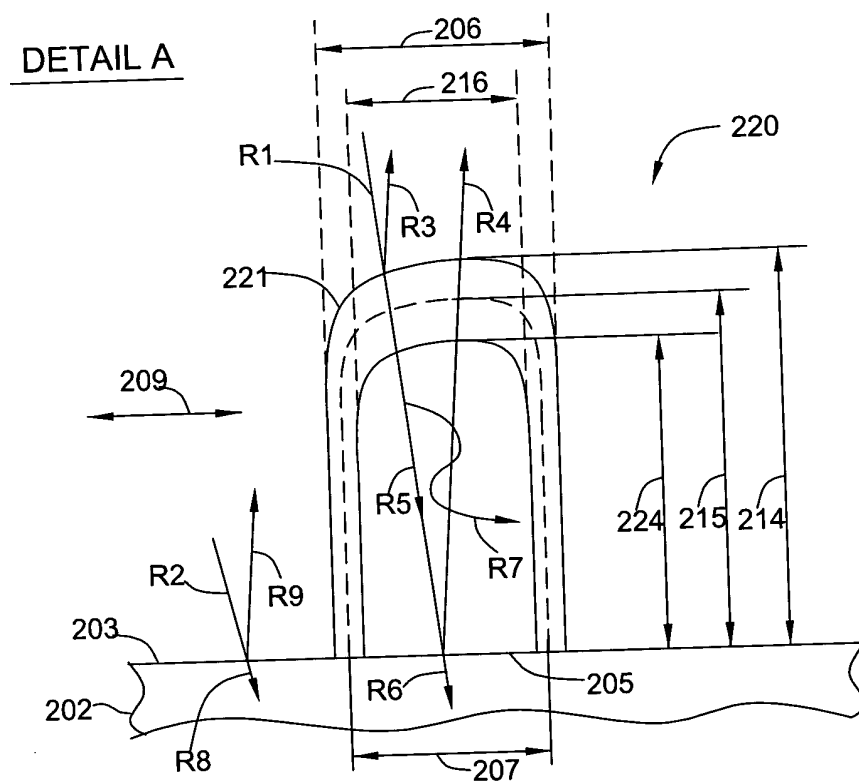


FIG. 3B

7/18

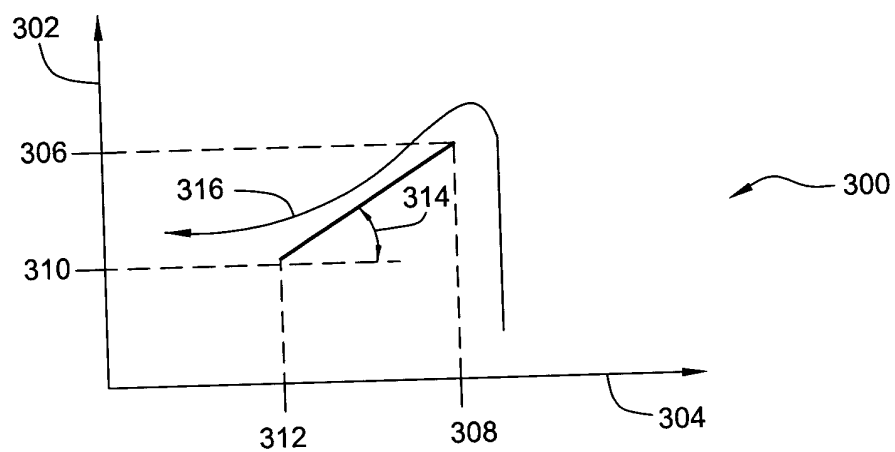


FIG. 4

8/18

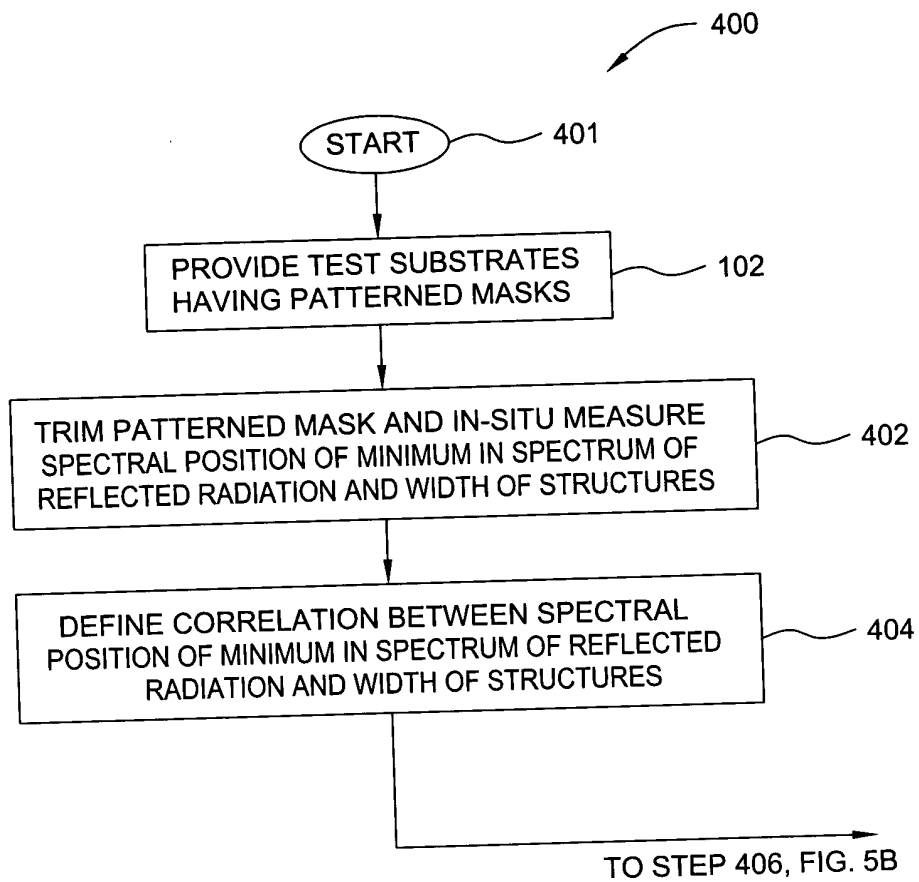


FIG. 5A

9/18

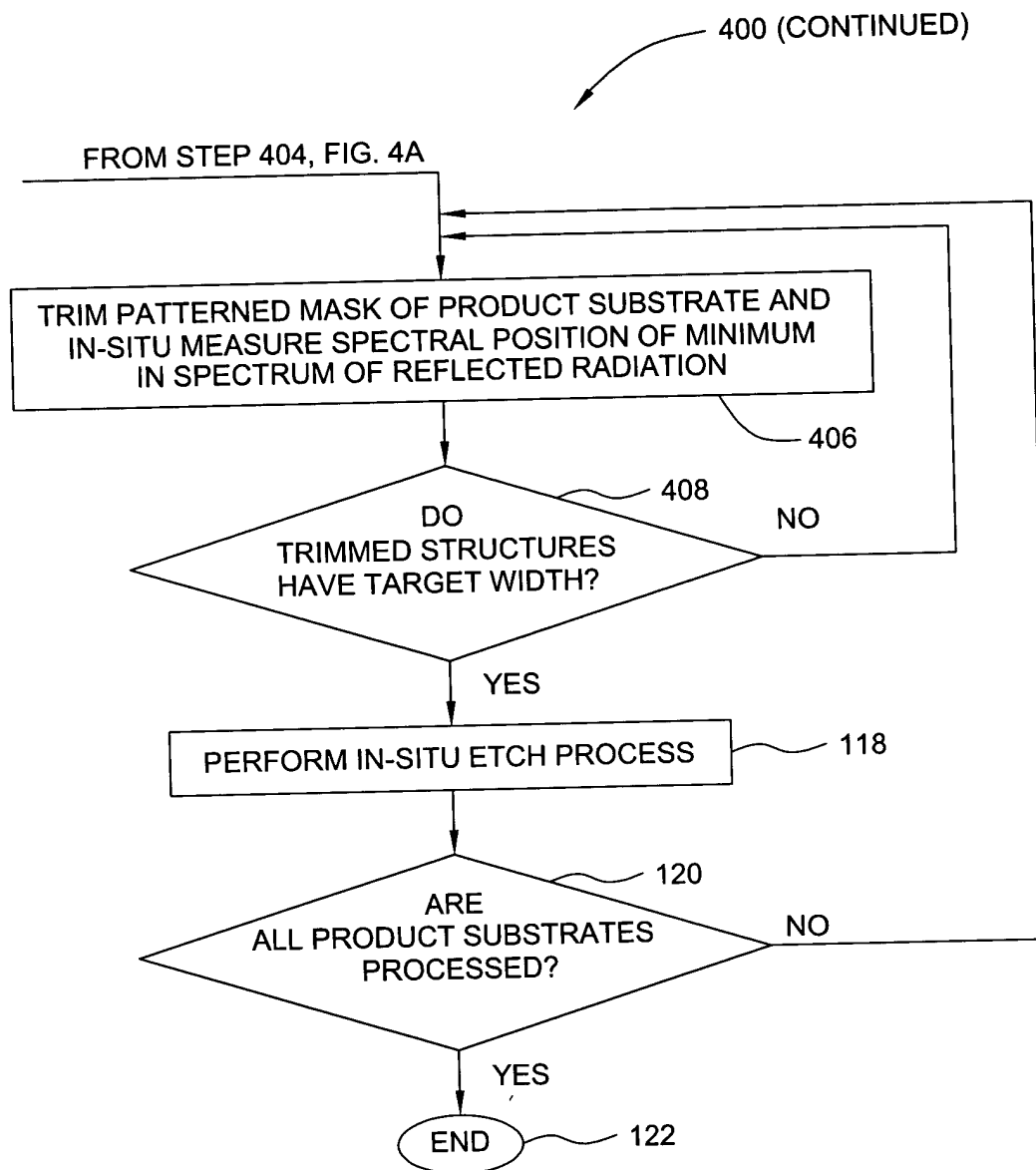
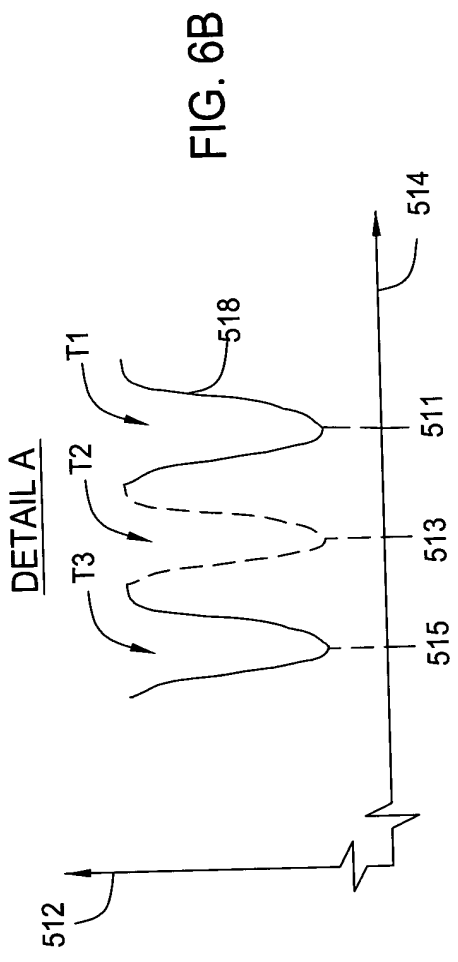
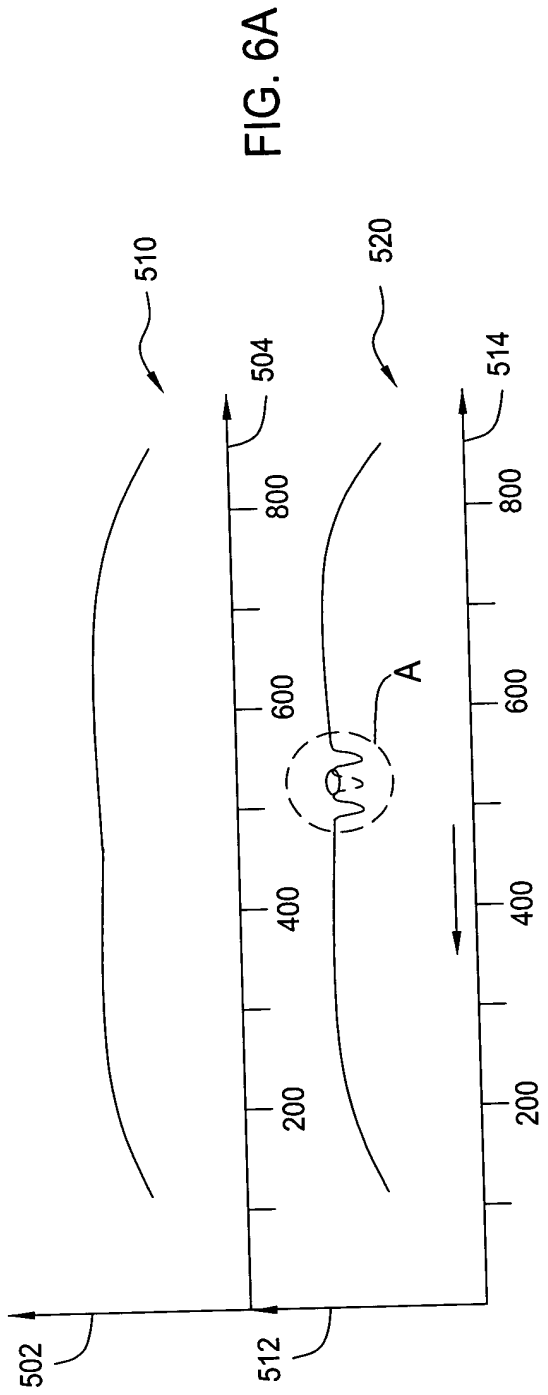


FIG. 5B



11/18

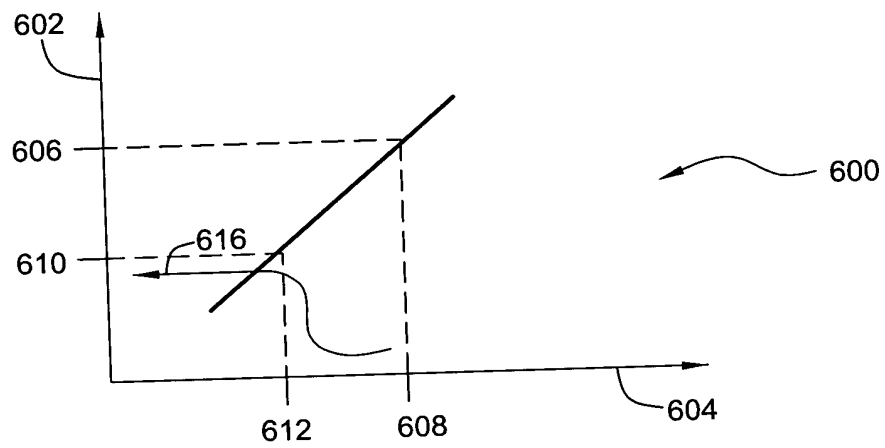


FIG. 7

12/18

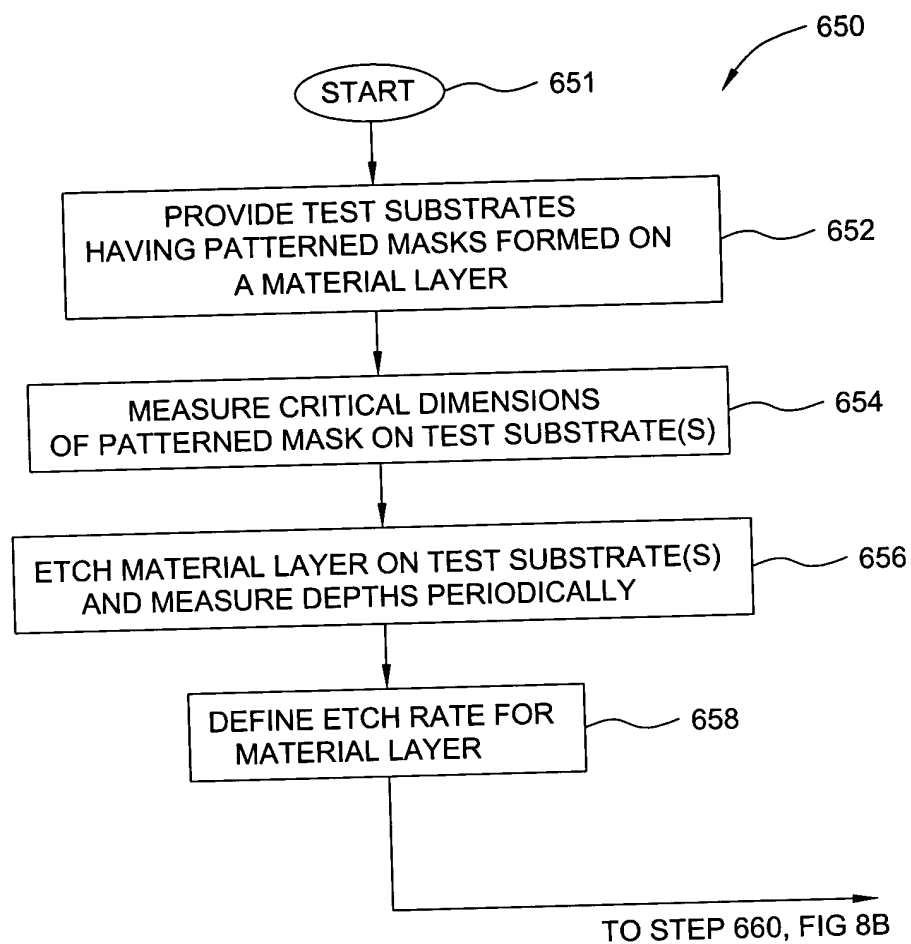


FIG. 8A

13/18

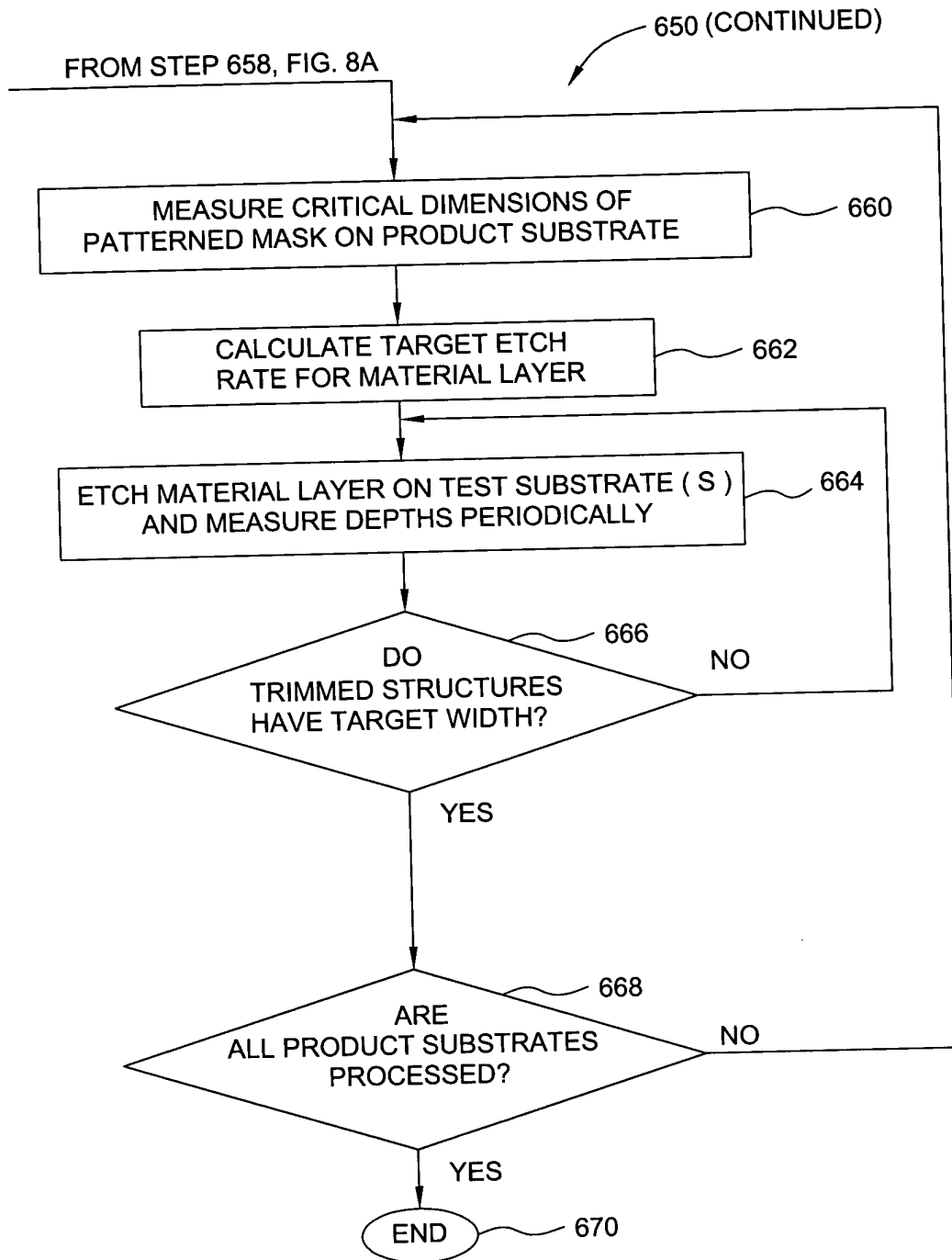


FIG. 8B

14/18

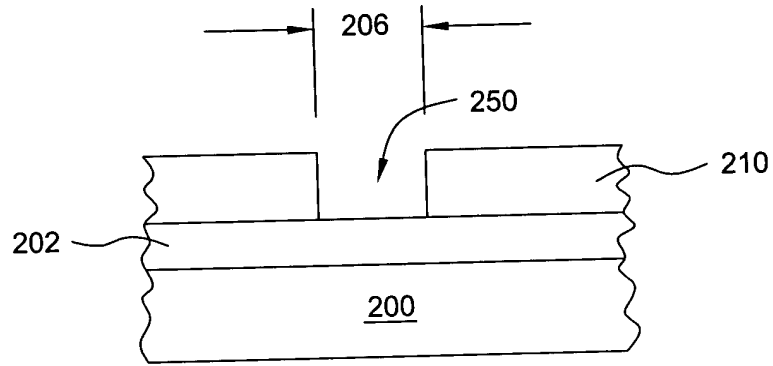


FIG. 9A

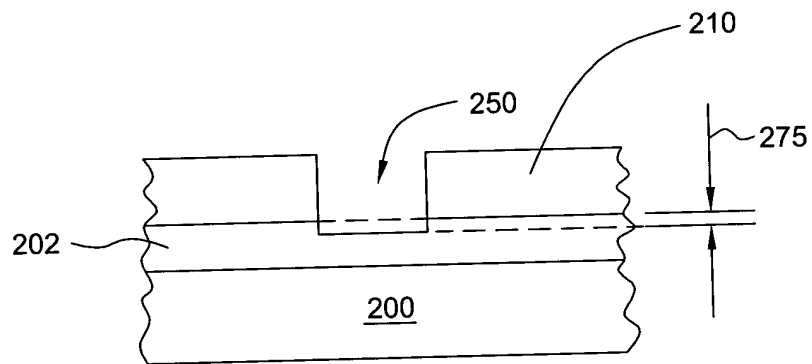


FIG. 9B

15/18

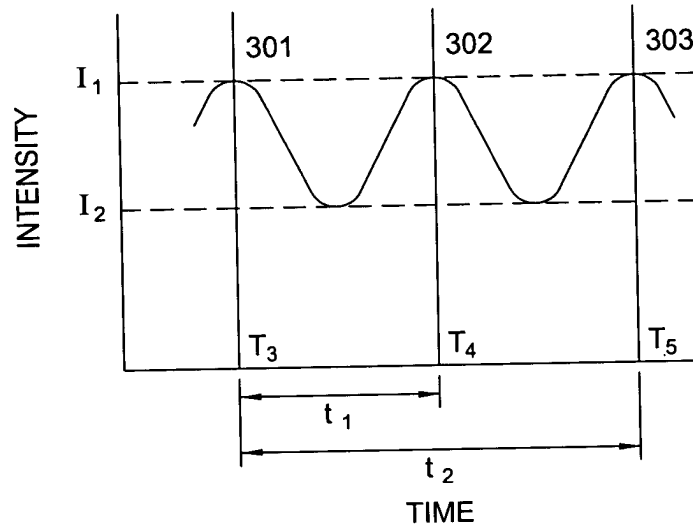


FIG. 9C

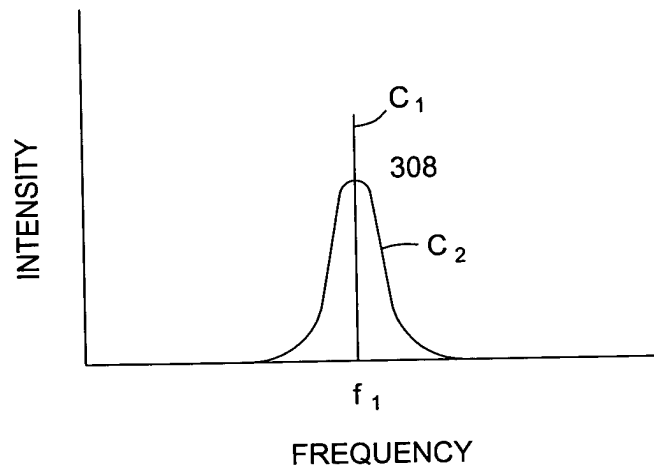


FIG. 9D

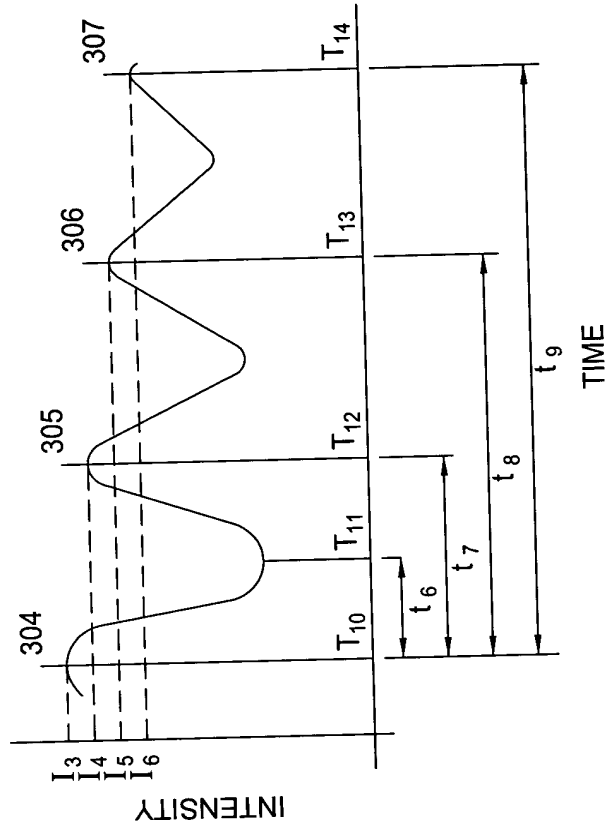
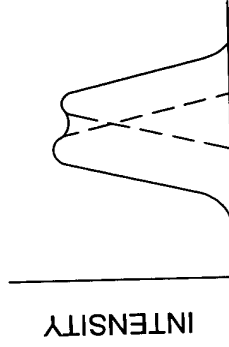
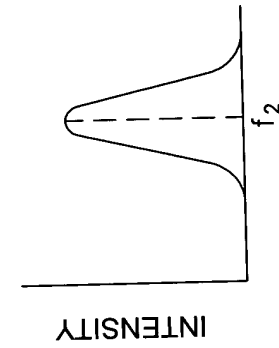


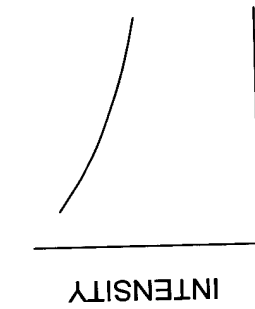
FIG. 9E



FREQUENCY
FIG. 9H

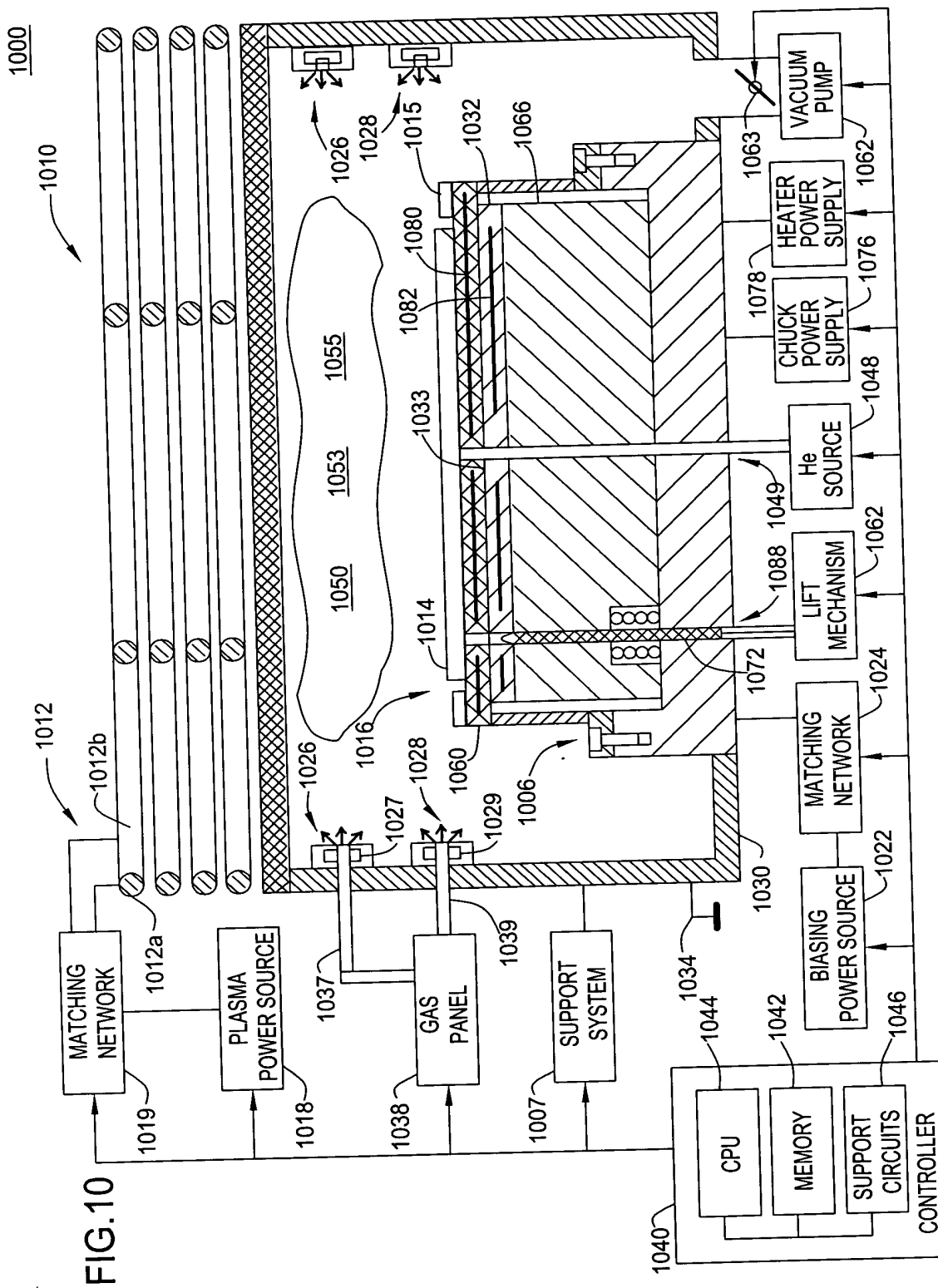


FREQUENCY
FIG. 9G



FREQUENCY
FIG. 9F

17/18



18/18

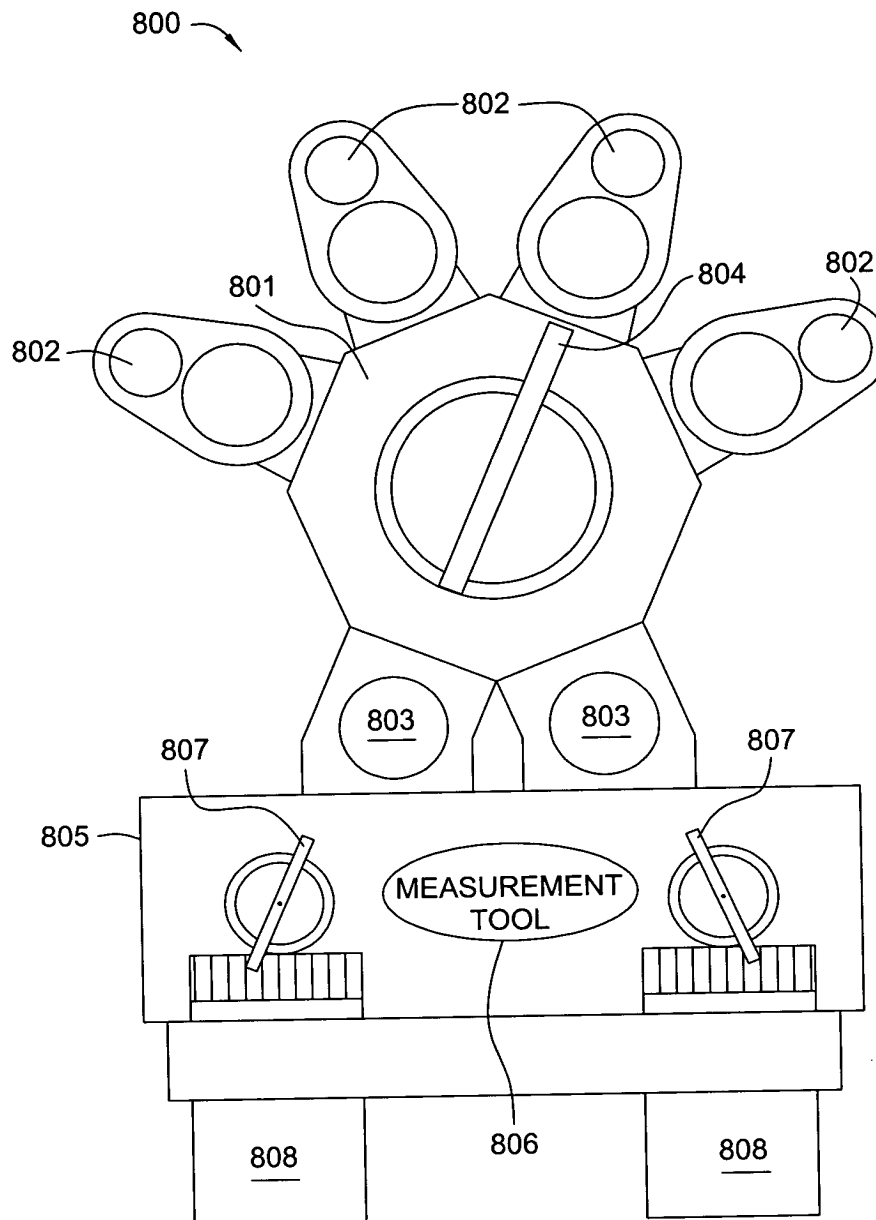


FIG. 11